

Une approche combinant bornes stochastiques, traces et histogrammes pour l'analyse de performance des réseaux ¹

F. Aït Salaht ¹ H. Castel Taleb ² J.M. Fourneau ¹
N. Pekergin ³

¹PRiSM, Univ. Versailles St Quentin, UMR CNRS 8144, Versailles France

²SAMOVAR, UMR 5157, Télécom Sud Paris, Evry, France

³LACL, Univ. Paris Est, Créteil, France

MSR 2013, Novembre 2013

Sommaire

Motivation

Description du modèle de file d'attente

Notre méthodologie

Exemples à partir de traces réelles

Conclusion

Sommaire

Motivation

Description du modèle de file d'attente

Notre méthodologie

Exemples à partir de traces réelles

Conclusion

Motivation

- Analyser les performances d'un réseau sous des trafics généraux issus de traces réelles

Motivation

- Analyser les performances d'un réseau sous des trafics généraux issus de traces réelles
 - **Problème :**
 - Chaînes de Markov à espace d'état très grand
 - Solution exacte est très difficile voir impossible

Motivation

- Analyser les performances d'un réseau sous des trafics généraux issus de traces réelles

- **Problème :**

- Chaînes de Markov à espace d'état très grand
- Solution exacte est très difficile voir impossible

- **Proposition :**

Appliquer la méthode de bornes stochastiques pour l'analyse de performance du réseau par une représentation en histogramme du trafic

- Approche par histogramme
- La théorie de bornes stochastiques pour réduire la taille de la distribution
Borne stochastique \implies le résultat est une borne de la distribution exacte
 \implies Bornes sur les mesures de performance
- Contrôler la taille des distributions \implies Contrôler la complexité

Sommaire

Motivation

Description du modèle de file d'attente

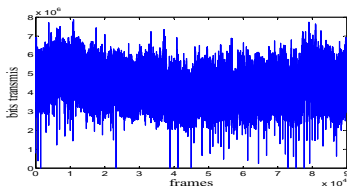
Notre méthodologie

Exemples à partir de traces réelles

Conclusion

Description du modèle de file d'attente

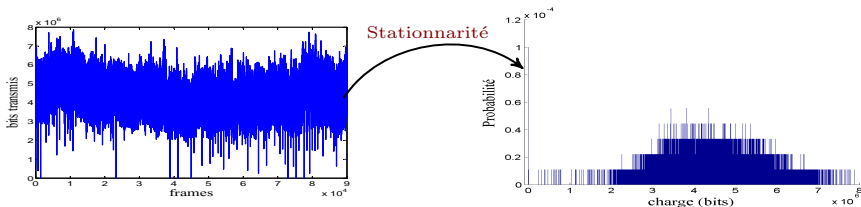
► Trace du trafic utilisé comme exemple :



- Trace du trafic MAWI correspondant à une heure de mesure de trafic IP
9 janvier 2007 entre 12h et 13h
- Échantillonnage avec une période de 40 ms

Description du modèle de file d'attente

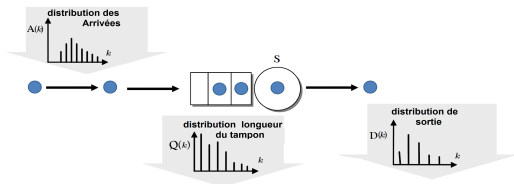
► Trace du trafic utilisé comme exemple :



- Trace du trafic MAWI correspondant à une heure de mesure de trafic IP
9 janvier 2007 entre 12h et 13h
- Échantillonnage avec une période de 40 ms
- Représentation en histogramme
- Nombre de bins est de 80511

Description du modèle de file d'attente

► Modèle de file d'attente :



Le trafic en entrée est stationnaire et i.i.d. ($A(t) = \mathcal{A}$).

Équations d'évolution

► Équation de récurrence sur la longueur du tampon :

$$Q(k) = \min(B, (Q(k-1) + \mathcal{A} - S)^+), \quad k \in \mathbb{N}. \quad (1)$$

► Distribution de sortie :

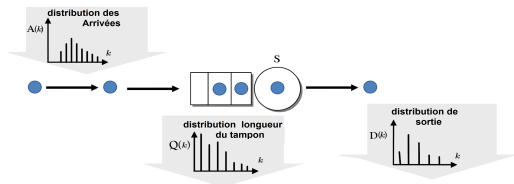
$$D(k) = \min(S, Q(k-1) + \mathcal{A}), \quad k \in \mathbb{N}. \quad (2)$$

► Chaîne de Markov à temps discret.

Hypothèse : chaînes de Markov ergodiques.

Description du modèle de file d'attente

► Modèle de file d'attente :



Le trafic en entrée est stationnaire et i.i.d. ($A(t) = \mathcal{A}$).

Équations d'évolution

► Équation de récurrence sur la longueur du tampon :

$$Q(k) = \min(B, (Q(k-1) + \mathcal{A} - S)^+), \quad k \in \mathbb{N}. \quad (1)$$

► Distribution de sortie :

$$D(k) = \min(S, Q(k-1) + \mathcal{A}), \quad k \in \mathbb{N}. \quad (2)$$

► Inconvénients : Calcul trop coûteux \rightarrow Histogramme trop grand

Méthode HBSP : Histogram Buffer Stochastic Process

Modèle d'Hernández et *al.* (2007)

Objectif : Réduire la taille de la trace initiale \implies Accélérer le temps de calcul.

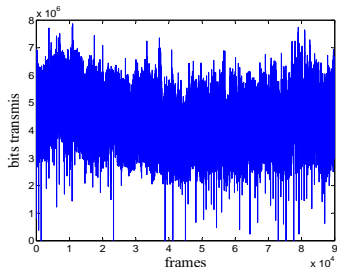
Méthode HBSP : Histogram Buffer Stochastic Process

Modèle d'Hernández et *al.* (2007)

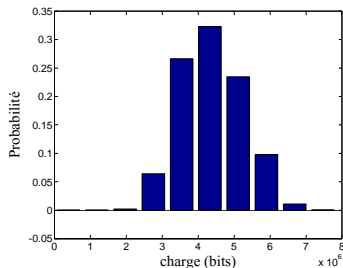
Objectif : Réduire la taille de la trace initiale \implies Accélérer le temps de calcul.

Méthode : Diviser l'espace d'état ($|\mathcal{H}| = N$) en K sous-intervalles (bins), $K \ll N$.

Exemple :



Trace de trafic MAWI



Histogramme HBSP avec $K=10$ bins

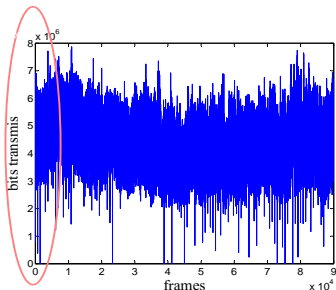
Méthode HBSP : Histogram Buffer Stochastic Process

Modèle d'Hernández et *al.* (2007)

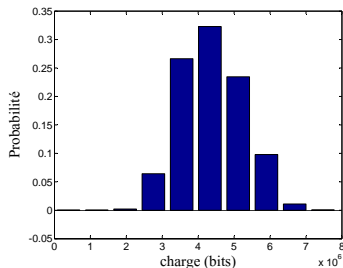
Objectif : Réduire la taille de la trace initiale \implies Accélérer le temps de calcul.

Méthode : Diviser l'espace d'état ($|\mathcal{H}| = N$) en K sous-intervalles (bins), $K \ll N$.

Exemple :



Trace de trafic MAWI



Histogramme HBSP avec $K=10$ bins

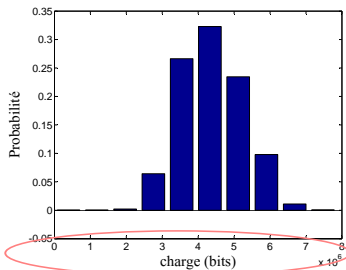
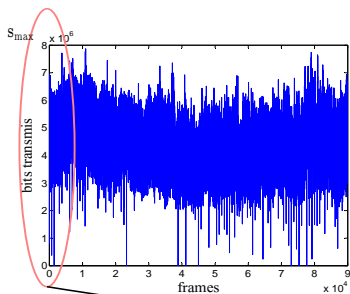
Méthode HBSP : Histogram Buffer Stochastic Process

Modèle d'Hernández et *al.* (2007)

Objectif : Réduire la taille de la trace initiale \implies Accélérer le temps de calcul.

Méthode : Diviser l'espace d'état ($|\mathcal{H}| = N$) en K sous-intervalles (bins), $K \ll N$.

Exemple :



$$l = \frac{S_{\max}}{K}$$

Trace de trafic MAWI

Histogramme HBSP avec K=10 bins

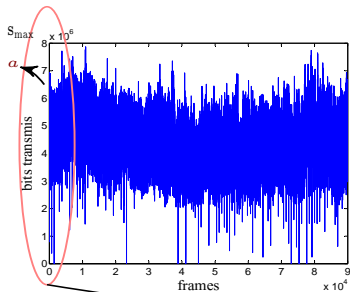
Méthode HBSP : Histogram Buffer Stochastic Process

Modèle d'Hernández et *al.* (2007)

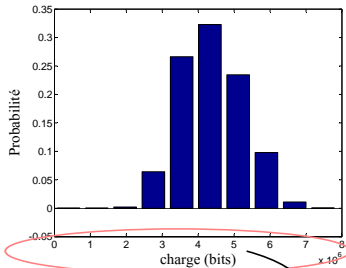
Objectif : Réduire la taille de la trace initiale \implies Accélérer le temps de calcul.

Méthode : Diviser l'espace d'état ($|\mathcal{H}| = N$) en K sous-intervalles (bins), $K \ll N$.

Exemple :



$$l = \frac{S_{\max}}{K}$$



$$\text{class}(a) = \lfloor \frac{a}{l} \rfloor$$

Trace de trafic MAWI

Histogramme HBSP avec $K=10$ bins

Méthode HBSP : Histogram Buffer Stochastic Process

Processus stochastique : file d'attente HD/D/1/B

Distribution de la longueur du tampon :

$$Q(k) = \Phi_{\hat{S}}^{\hat{B}}(Q(k-1) \otimes \mathcal{A}).$$

Où, $\hat{S} = class(S)$, $\hat{B} = class(B)$, \otimes : opérateur de convolution des distributions et Φ est un opérateur bornant.

Méthode HBSP : Histogram Buffer Stochastic Process

Processus stochastique : file d'attente HD/D/1/B

Distribution de la longueur du tampon :

$$Q(k) = \Phi_{\hat{S}}^{\hat{B}}(Q(k-1) \otimes \mathcal{A}).$$

Où, $\hat{S} = class(S)$, $\hat{B} = class(B)$, \otimes : opérateur de convolution des distributions et Φ est un opérateur bornant.

Soient X et Y deux variables aléatoires discrètes définies sur \mathcal{G}_X et \mathcal{G}_Y resp. avec $|\mathcal{G}_X| = l_X$ et $|\mathcal{G}_Y| = l_Y$.

Proposition : Complexité de la convolution

- ▶ La convolution des distributions génère une distribution avec au plus $l_X \times l_Y$ états.
- ▶ Et requière : $O(l_X \times l_Y)$ opérations (+) approche naïve;
 $O((l_X + l_Y) \log(l_X + l_Y))$ en utilisant la FFT.

Méthode HBSP : Histogram Buffer Stochastic Process

Processus stochastique : file d'attente HD/D/1/B

Distribution de la longueur du tampon :

$$Q(k) = \Phi_{\hat{S}}^{\hat{B}}(Q(k-1) \otimes \mathcal{A}).$$

Où, $\hat{S} = \text{class}(S)$, $\hat{B} = \text{class}(B)$, \otimes : opérateur de convolution des distributions et Φ est un opérateur bornant.

Soient X et Y deux variables aléatoires discrètes définies sur \mathcal{G}_X et \mathcal{G}_Y resp. avec $|\mathcal{G}_X| = l_X$ et $|\mathcal{G}_Y| = l_Y$.

Proposition : Complexité de la convolution

- ▶ La convolution des distributions génère une distribution avec au plus $l_X \times l_Y$ états.
- ▶ Et requière : $O(l_X \times l_Y)$ opérations (+) approche naïve;
- $O((l_X + l_Y) \log(l_X + l_Y))$ en utilisant la FFT.

Propriétés

- Méthode approximative
- Considère un seul nœud utilisant des traces de trafic réelles



Méthode HBSP : Histogram Buffer Stochastic Process

Processus stochastique : file d'attente HD/D/1/B

Distribution de la longueur du tampon :

$$Q(k) = \Phi_{\hat{S}}^{\hat{B}}(Q(k-1) \otimes \mathcal{A}).$$

Où, $\hat{S} = class(S)$, $\hat{B} = class(B)$, \otimes : opérateur de convolution des distributions et Φ est un opérateur bornant.

Soient X et Y deux variables aléatoires discrètes définies sur \mathcal{G}_X et \mathcal{G}_Y resp. avec $|\mathcal{G}_X| = l_X$ et $|\mathcal{G}_Y| = l_Y$.

Proposition : Complexité de la convolution

- ▶ La convolution des distributions génère une distribution avec au plus $l_X \times l_Y$ états.
- ▶ Et requière : $O(l_X \times l_Y)$ opérations (+) approche naïve;
- $O((l_X + l_Y) \log(l_X + l_Y))$ en utilisant la FFT.

Propriétés

- Méthode approximative
- Considère un seul nœud utilisant des traces de trafic réelles
- Différence entre deux distributions successives n'est pas un test de convergence suffisant.

Sommaire

Motivation

Description du modèle de file d'attente

Notre méthodologie

Exemples à partir de traces réelles

Conclusion

Bornes stochastiques

- ▶ Soit $\mathcal{G} = \{1, 2, \dots, n\}$ un espace d'état fini. ▶ X, Y : distributions discrètes sur \mathcal{G} ;
- ▶ $p_X(i) = \text{prob}(X = i)$ et $p_Y(i) = \text{prob}(Y = i)$ pour $i \in \mathcal{G}$.

Propriété sur l'ordre stochastique \leq_{st}

- **Définition de l'ordre \leq_{st} :** $X \leq_{st} Y$ ssi $\sum_{k=i}^n p_X(k) \leq \sum_{k=i}^n p_Y(k), \quad \forall i.$
- **Comparaison de fonctions non décroissantes :**

$$X \leq_{st} Y \iff \mathbb{E}[f(X)] \leq \mathbb{E}[f(Y)]$$

pour toute fonction non décroissante $f : \mathcal{G} \rightarrow \mathbb{R}^+$ à condition que les espérances existent.

Bornes stochastiques

- ▶ Soit $\mathcal{G} = \{1, 2, \dots, n\}$ un espace d'état fini. ▶ X, Y : distributions discrètes sur \mathcal{G} ;
- ▶ $p_X(i) = \text{prob}(X = i)$ et $p_Y(i) = \text{prob}(Y = i)$ pour $i \in \mathcal{G}$.

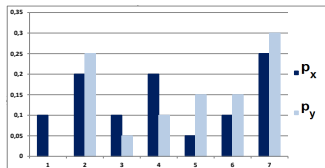
Propriété sur l'ordre stochastique \leq_{st}

- **Définition de l'ordre \leq_{st}** : $X \leq_{st} Y$ ssi $\sum_{k=i}^n p_X(k) \leq \sum_{k=i}^n p_Y(k)$, $\forall i$.
- **Comparaison de fonctions non décroissantes** :

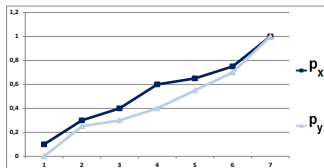
$$X \leq_{st} Y \iff \mathbb{E}[f(X)] \leq \mathbb{E}[f(Y)]$$

pour toute fonction non décroissante $f : \mathcal{G} \rightarrow \mathbb{R}^+$ à condition que les espérances existent.

Exemple : Nous considérons $\mathcal{G} = \{1, 2, \dots, 7\}$,
 $\mathbf{p}_X = [0.1, 0.2, 0.1, 0.2, 0.05, 0.1, 0.25]$ et $\mathbf{p}_Y = [0, 0.25, 0.05, 0.1, 0.15, 0.15, 0.3]$.



The pmf of a discrete distributions X and Y



Cumulative distribution functions

Bornes sur les histogrammes de trafic

Hypothèses

Nous considérons

\mathbf{d} : Distribution de probabilités discrète sur un espace d'état **totalemment ordonné**

\mathcal{H} , $|\mathcal{H}| = N$, $\mathbf{d}(i) > 0$ for $i \in \mathcal{H}$.

\mathbf{r} : fonction de récompense positive croissante, $R[\mathbf{d}] = \sum \mathbf{r}(i)\mathbf{d}(i)$.

Bornes sur les histogrammes de trafic

Hypothèses

Nous considérons

\mathbf{d} : Distribution de probabilités discrète sur un espace d'état **totalemment ordonné**

\mathcal{H} , $|\mathcal{H}| = N$, $\mathbf{d}(i) > 0$ for $i \in \mathcal{H}$.

r : fonction de récompense positive croissante, $R[\mathbf{d}] = \sum r(i)\mathbf{d}(i)$.

Déterminer $\mathbf{d1}$ et $\mathbf{d2}$ tel que :

1. $\mathbf{d2} \leq_{st} \mathbf{d} \leq_{st} \mathbf{d1}$;
2. $\mathbf{d1}$ et $\mathbf{d2}$ ont exactement K états (pas nécessairement le même);
3. $\sum_{i \in \mathcal{H}} r(i)\mathbf{d}(i) - \sum_{i \in \mathcal{H}'} r(i)\mathbf{d2}(i)$ est minimal pour les distributions bornes inférieures de \mathbf{d} avec K états;
4. $\sum_{i \in \mathcal{H}''} r(i)\mathbf{d1}(i) - \sum_{i \in \mathcal{H}} r(i)\mathbf{d}(i)$ est minimal pour les distributions bornes supérieures \mathbf{d} avec K états;

Bornes sur les histogrammes de trafic

Algorithme optimal basé sur la programmation dynamique

- Problème de théorie des graphes.
- On considère un graphe pondéré $G = (V, E)$ avec :
 - ▶ **Borne inférieure:** $w(e) = \sum_{j \in \mathcal{H}: u < j < v} d(j)(r(j) - r(u))$
 - ▶ **Borne supérieure :** $w(e) = \sum_{j \in \mathcal{H}: u < j < v} d(j)(r(v) - r(j))$

Bornes sur les histogrammes de trafic

Algorithme optimal basé sur la programmation dynamique

- Problème de théorie des graphes.
- On considère un graphe pondéré $G = (V, E)$ avec :

▶ **Borne inférieure:** $w(e) = \sum_{j \in \mathcal{H}: u < j < v} d(j)(r(j) - r(u))$

▶ **Borne supérieure :** $w(e) = \sum_{j \in \mathcal{H}: u < j < v} d(j)(r(v) - r(j))$

Calcul de la borne optimale \equiv Calculer le plus court chemin dans le graphe G avec K nœuds ($K \ll N$).

- La masse de probabilités des nœuds supprimés est sommée avec
 - ▶ **Borne inférieure :** Les prédécesseurs immédiats
 - ▶ **Borne supérieure :** Les successeurs immédiats

Bornes sur les histogrammes de trafic

Algorithme optimal basé sur la programmation dynamique

- Problème de théorie des graphes.
- On considère un graphe pondéré $G = (V, E)$ avec :

▶ **Borne inférieure:** $w(e) = \sum_{j \in \mathcal{H}: u < j < v} d(j)(r(j) - r(u))$

▶ **Borne supérieure :** $w(e) = \sum_{j \in \mathcal{H}: u < j < v} d(j)(r(v) - r(j))$

Calcul de la borne optimale \equiv Calculer le plus court chemin dans le graphe G avec K nœuds ($K \ll N$).

- La masse de probabilités des nœuds supprimés est sommée avec
 - ▶ **Borne inférieure :** Les prédécesseurs immédiats
 - ▶ **Borne supérieure :** Les successeurs immédiats

Complexité : $O(N^2 K)$ et cubique quand K est de même ordre que N .

Exemple : Borne supérieure optimale

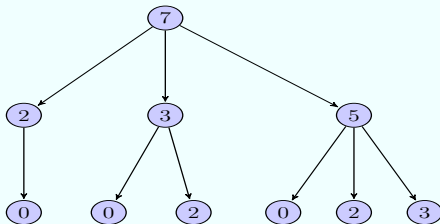
On considère

- Distribution discrète $\mathcal{A} = (\mathbf{A}, p(\mathbf{A}))$ avec $\mathbf{A} = \{0, 2, 3, 5, 7\}$ et $p(\mathbf{A}) = [0.05, 0.3, 0.15, 0.2, 0.3]$

- Fonction de récompense $r : \forall a_i \in \mathbf{A}, r(a_i) = a_i$,

$$R[\mathcal{A}] = \sum_{a_i \in \mathbf{A}} r(a_i) p_{\mathbf{A}}(i) = 4.15.$$

- Calculer la borne optimale supérieure $\bar{\mathcal{A}}$ sur 3 états tel que $R[\bar{\mathcal{A}}] - R[\mathcal{A}]$ est minimale.



Exemple : Borne supérieure optimale

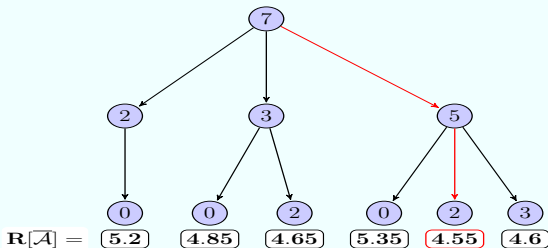
On considère

- Distribution discrète $\mathcal{A} = (\mathbf{A}, p(\mathbf{A}))$ avec $\mathbf{A} = \{0, 2, 3, 5, 7\}$ et $p(\mathbf{A}) = [0.05, 0.3, 0.15, 0.2, 0.3]$

- Fonction de récompense $r : \forall a_i \in \mathbf{A}, r(a_i) = a_i$,

$$R[\mathcal{A}] = \sum_{a_i \in \mathbf{A}} r(a_i) p_{\mathbf{A}}(i) = 4.15.$$

- Calculer la borne optimale supérieure $\bar{\mathcal{A}}$ sur 3 états tel que $R[\bar{\mathcal{A}}] - R[\mathcal{A}]$ est minimale.



$\bar{\mathcal{A}} = (\bar{\mathbf{A}}, p(\bar{\mathbf{A}}))$ with $\bar{\mathbf{A}} = \{2, 5, 7\}$, $p(\bar{\mathbf{A}}) = [0.35, 0.35, 0.3]$ and $R[\bar{\mathcal{A}}] = 4.55$.

Résultats théoriques

Objectif : Bornes stochastiques sur le processus d'entrée \implies bornes sur les mesures de performance.

Nous avons montré les principaux résultats suivants :

Monotonie

If $A(k) \leq_{st} A^U(k), \forall k \geq 0$, alors $Q(k) \leq_{st} Q^U(k), \forall k \geq 0$

et

If $A(k) \leq_{st} A^U(k), \forall k \geq 0$, alors $D(k) \leq_{st} D^U(k), \forall k \geq 0$.

Également vrai pour les processus stationnaires.

Résultats théoriques

Objectif : Bornes stochastiques sur le processus d'entrée \implies bornes sur les mesures de performance.

Nous avons montré les principaux résultats suivants :

Monotonie

If $A(k) \leq_{st} A^U(k), \forall k \geq 0$, alors $Q(k) \leq_{st} Q^U(k), \forall k \geq 0$

et

If $A(k) \leq_{st} A^U(k), \forall k \geq 0$, alors $D(k) \leq_{st} D^U(k), \forall k \geq 0$.

Également vrai pour les processus stationnaires.

Test de convergence proposé

Supposons que la chaîne est ergodique et que l'état stationnaire est π .

$$Q^L(k) \leq_{st} Q^L(k+1) \leq_{st} \pi \leq_{st} Q^U(k+1) \leq_{st} Q^U(k).$$

Si $\|Q^U(k+1) - Q^L(k+1)\|_\infty < \epsilon$ la limite de $Q^L(k)$ et $Q^U(k)$ est π .

Sommaire

Motivation

Description du modèle de file d'attente

Notre méthodologie

Exemples à partir de traces réelles

Conclusion

Exemples à partir de traces réelles

Objectif :

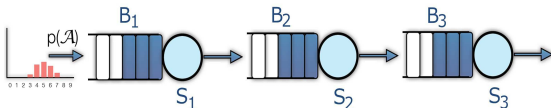
Comparer les différentes méthodes (résultat exact, méthode HBSP et nos bornes).

1- File simple

- Influence du nombre de bins sur la précision des résultats
- Relation entre la taille du tampon et certaines mesures de performance

2- Réseau de files d'attente

On considère le réseau en tandem suivant

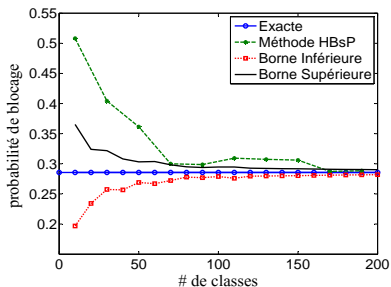


Nombre de bins vs précision : Paramètres QoS en utilisant la trace de trafic MAWI

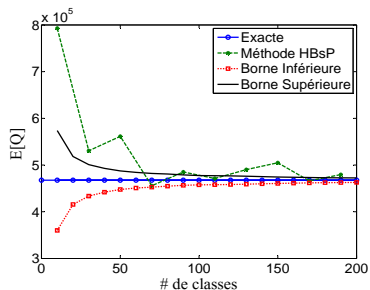
1- File simple

Nombre de bins vs précision : Paramètres QoS en utilisant la trace de trafic MAWI

1- File simple

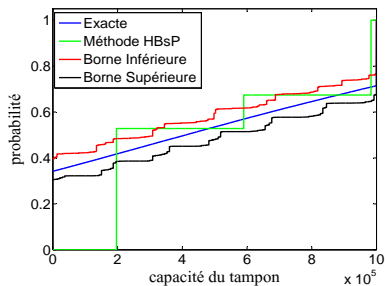


(c) Probabilités de blocage

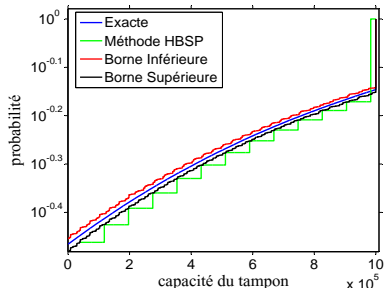


(d) Moyenne de la longueur du tampon

Influence du nombre de bins sur la précision des résultats



(e) bins=20

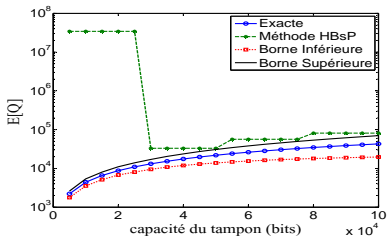
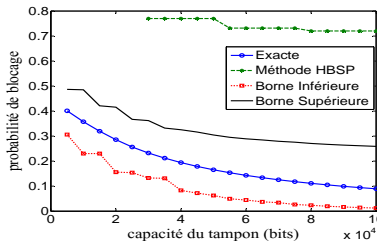


(f) bins=100

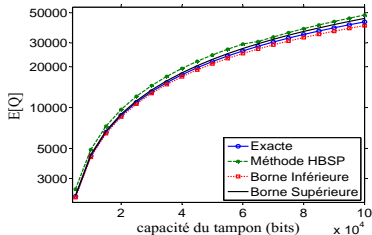
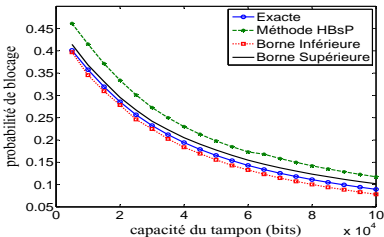
Distribution de probabilités cumulée (cdf) de la longueur du tampon sous la trace MAWI

Paramètres QoS en utilisant la trace de trafic CAIDA OC-48

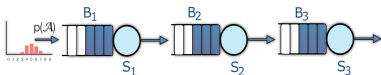
bins = 10



bins = 100

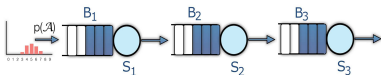


2- Réseau de file d'attente : Réseau en tandem



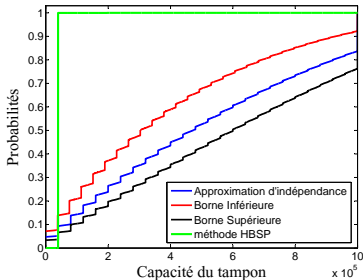
- Hypothèse : indépendance (approximation)
- Chaque file est analysée séparément
- Monotonie \implies borne à chaque étape intermédiaire

2- Réseau de file d'attente : Réseau en tandem

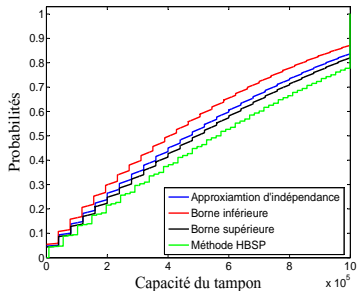


- Hypothèse : indépendance (approximation)
- Chaque file est analysée séparément
- Monotonie \implies borne à chaque étape intermédiaire

Distribution de probabilités cumulée de la longueur du tampon de la file 3.



bins=100



bins=500

Sommaire

Motivation

Description du modèle de file d'attente

Notre méthodologie

Exemples à partir de traces réelles

Conclusion

Conclusion

- Proposer une nouvelle approche basée sur les bornes stochastiques;
- Dériver des bornes sur différentes mesures de performance : probabilités de blocage, occupation du tampon. . .
- Les bornes sur les performances sont très pertinentes pour le dimensionnement d'une file d'attente.

Notre méthode nous permet de

- Contrôler la taille des distributions;
- Compromis entre la précision et la complexité en changeant la taille des distributions.

Perspectives :

- ▶ Considérer des topologies plus générales et des capacités de services décrites par des histogrammes;
- ▶ Étendre la théorie en considérant des flux non stationnaires.

Merci pour votre attention